

## FÁZOVÉ ROVNOVÁHY SÍRANU AMONNO-HLINITÉHO V ROZTOCÍCH PŘI SANACI CHEMICKÉ TĚŽBY URANU

JAROSLAV NYVLT<sup>a\*</sup>, JIŘÍ HOSTOMSKÝ<sup>a</sup>,  
VĚRA HOSTOMSKÁ<sup>a</sup> a VÍT PAVELKA<sup>b</sup>

<sup>a</sup>Ústav anorganické chemie, Akademie věd České republiky,  
250 68 Řež u Prahy, e-mail: nyvlt@iic.cas.cz, <sup>b</sup>Spolchemie  
a.s., 400 68 Ústí nad Labem

Došlo dne 9.XII.1999

Klíčová slova: fázové rovnováhy, síran amonný, síran hlinitý, síran železitý, kyselina sírová, kamenec amonný

### Úvod

Hydrochemická těžba uranu *in situ* pomocí vyluhovacích vrtů vedených z povrchu jako alternativa ke standardní podzemní hornické těžbě byla u nás zavedena v letech 1968–1992 v lokalitě Stráž pod Ralskem. Bez ohledu na devastaci životního prostředí bylo do podzemí vpraveno téměř 4 miliony t H<sub>2</sub>SO<sub>4</sub>, na 300 tis. t HNO<sub>3</sub> a rádově stejně množství amonných iontů, címž byly zejména ohroženy tamní významné zásoby pitných vod. Celková výsledná solnost kyselých důlních vod je způsobena hlavně síranovými, hlinitými, železitými/železnatými a amonnými ionty. Na základě vládního usnesení z roku 1992 dochází k útlumu chemické těžby a je zahájen rozsáhlý program sanace, který potrvá po dobu minimálně dvou desetiletí s celkovými náklady přesahujícími 30 miliard Kč. Program sanace má několik etap. Ve druhé etapě by měl být k zahuštěným roztokům přicházejícím z podzemí přidáván síran amonný, aby bylo dosaženo stechiometrického poměru NH<sub>4</sub><sup>+</sup> a Al<sup>3+</sup> iontů a ve vakuových krystalizátorech pak bude krystalizovat dodekahydrit síranu amonno-hlinitého NH<sub>4</sub>Al(SO<sub>4</sub>)<sub>2</sub>, který tedy bude hlavním produktem při přepracování roztoků v rámci sanace chemické těžby uranu. Pro zabezpečení technologie je nutno na základě literárních dat i vlastního výzkumu vytvořit soustavu základních fyzikálně-chemických a chemicko-inženýrských dat týkajících se krystalizace kamence amonno-hlinitého. Patří sem především fázové rovnováhy v systémech síran amonno-hlinitý–síran amonný–síran hlinitý–kyselina sírová–síran amonno-železitý–voda v širokém rozmezí koncentrací a teplot.

Cílem této práce je zpracování literárních dat o fázových rovnováhách v nejdůležitějších délčích systémech síranu amonno-hlinitého uplatňujících se při asanaci podzemních vyluhů při chemické těžbě uranu.

### Teoretická část

Z termodynamické podmínky pro fázovou rovnováhu mezi tuhou a kapalnou fází lze odvodit základní vztah<sup>1</sup>, který lze pro třísložkový systém upravit na tvar:

$$\log \frac{x_1 y_2}{x_2 y_1} = \varphi_1 - \varphi_2 \quad (1)$$

nebo

$$K = \frac{y_2 x_1}{y_1 x_2} \approx \frac{p_2' p_1''}{p_1' p_2''} \quad (2)$$

kde  $K$  je distribuční koeficient. Tyto rovnice tvoří základ pro metodu rozvoje relativních aktivitních koeficientů<sup>1</sup>.

Jsou-li rozpuštěné složky disociovány a mají společný anion, lze z rovnice (1) odvodit vztah<sup>1</sup>

$$\frac{1}{v_1} \log \left[ \left( X_1 + X_2 \frac{m_{20}}{m_{10}} \right)^{\nu_{1-}} X_1^{\nu_{1+}} \right] - \log y_1 = \varphi_1 \quad (3)$$

platící pro popis rozpustnosti složky 1, přičemž funkce  $\varphi_1$  lze approximovat rozvojem

$$\varphi_1 = Q_{12} m_2 + Q_{122} m_2^2 + \dots \quad (4)$$

Řešení této rovnice je poměrně komplikované, ale pro uspokojivý popis systému, ve kterém se netvoří tuhé roztoky, ji lze zjednodušit<sup>1</sup> na tvar

$$\frac{1}{v_1} \log \left[ \left( X_1 + X_2 \frac{m_{20}}{m_{10}} \right)^{\nu_{1-}} X_1^{\nu_{1+}} \right] = \varphi_1 \quad (5)$$

Jestliže studované složky tvoří v celém koncentračním rozsahu tuhé roztoky s neomezenou mísetností v tuhé fázi, můžeme předpokládat<sup>1–3</sup>, že obdobnými vztahy lze empiricky popsat i složení tuhé fáze.

Jestliže dochází k tvorbě podvojných solí, metoda rozvoje relativních aktivitních koeficientů přechází na tvar<sup>4</sup>

$$\begin{aligned} & \frac{1}{a_1 + b_1 + g_1 + h_1} \log \left[ \left( X_1 + \frac{a_2}{a_1} X_2 \right)^{a_1} X_1^{b_1} X_2^{g_1} \left( X_1 + \frac{h_2}{h_1} X_2 \right)^{h_1} \right] = \\ & = Q_{12} m_2 + Q_{122} m_2^2 \end{aligned} \quad (6)$$

kde koeficienty  $a_1$  a  $a_2$  značí počet společných kationtů ve složkách 1 a 2,  $b_1$  počet rozdílných kationtů ve složce 1,  $g_1$  počet rozdílných aniontů ve složce 1 a  $h_1$  resp.  $h_2$  počet společných aniontů ve složkách 1 a 2.  $X_i$  značí relativní molaritu  $i$ -té složky vztaženou na její rozpustnost ve vodě.

\* Podrobné tabulky dat a výsledky hydratační analýzy jsou k dispozici u autorů

## Data a jejich zpracování

Rozpustnosti čistých složek tvořících síran amonno-hlinité ve vodě v závislosti na teplotě byly převzaty z tabulek<sup>5</sup> a jsou vyjádřeny rovnicemi

$$\text{NH}_4\text{Al}(\text{SO}_4)_2: \log x = -80,63512 + 2402,164/(T + 273,15) + 28,39789 \log(T + 273,15) \quad (7)$$

$$\text{Al}_2(\text{SO}_4)_3: \log x = -72,84785 + 3100,222/(T + 273,15) + 24,54281 \log(T + 273,15) \quad (8)$$

$$(\text{NH}_4)_2\text{SO}_4: \log x = -8,41382 + 222,1496/(T + 273,15) + 2,685048 \log(T + 273,15) \quad (9)$$

Pro fázové rovnováhy v systému  $(\text{NH}_4)_2\text{SO}_4\text{-Al}_2(\text{SO}_4)_3\text{-H}_2\text{O}$  byly nalezeny údaje pro teplotu 25 °C v literatuře<sup>6,7</sup>, pro teploty 0, 25, 50, 75 a 90 °C v literatuře<sup>8</sup> a pro teploty 30, 40 a 60 °C v literatuře<sup>6</sup>. Výsledky výpočtu a porovnání s experimentálními hodnotami jsou znázorněny na obr. 1 a 2.

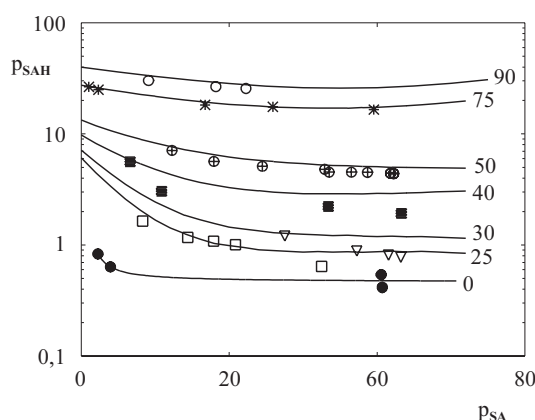
V literatuře<sup>10</sup> byly nalezeny hodnoty rozpustnosti síranu amonno-hlinitého ve vodních roztocích kyseliny sírové při 30 °C, v práci<sup>11</sup> při teplotách 20 a 30 °C. Data byla doplněna vlastním měřením<sup>12</sup> při teplotách 25, 30, 40, 50 a 60 °C a několika body při vyšších teplotách. Zatímco izotermní data v literatuře byla získávána analytickou metodou, stanovení při vyšších teplotách byla prováděna syntetickou polytermní metodou a vykazují větší rozptyl (obr. 3).

V literatuře<sup>7</sup> byly nalezeny údaje o fázové rovnováze v systému síran amonno-hlinity–síran amonno-železity–H<sub>2</sub>O při 25 °C.

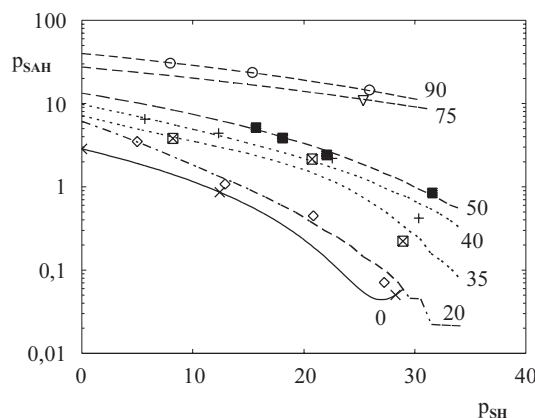
## Výsledky zpracování dat

Hodnoty konstant  $Q$  systémů síran amonno-hlinity–síran amonny–voda a síran amonno-hlinity–síran hlinity–voda stanovené postupem podrobně popsáným v monografii<sup>1</sup> jsou uvedeny v tabulce I. Jak bylo možno očekávat, mají absolutní hodnoty interakčních konstant  $Q$  s rostoucí teplotou klesající tendenci.

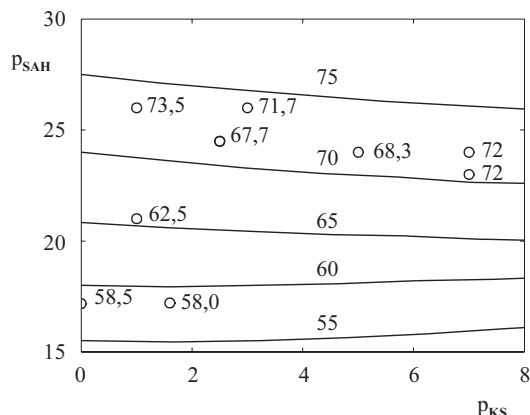
Obdobným způsobem byly vypočteny interakční konstanty systému síran amonno-hlinity–kyselina sírová–voda (tab. II) a systému síran amonno-hlinity–síran amonno-železity–voda v tomto případě se ukázalo, že zatímco pro rozpustnost tuhé fáze v roztoku nasyceném síranem amonno-hlinitým bylo možno uspokojivě zpracovat všechna data, zpracování dat o složení tuhé fáze dávalo použitelné konstanty pouze pro uvedené vybrané hodnoty, zatímco pro ostatní body byly výsledky rozdílné a značně rozptýlené. Označuje-li index 1 síran amonno-hlinity a index 2 síran amonno-železity v kapalné fázi, dostáváme pro vyhodnocení složení kapalné fáze nasycené složkou 1 konstanty  $Q_{12}^* = 0,5203822$ ,  $Q_{122} =$



Obr. 1. Rozpustnost síranu amonno-hlinitého (SAH) v roztocích síranu amonnného (SA)



Obr. 2. Rozpustnost síranu amonno-hlinitého (SAH) v roztocích síranu hlinitého (SH)



Obr. 3. Polytermní data rovnováhy síran amonno-hlinity–kyselina sírová–voda a jejich vyrovnání metodou rozvoje relativních aktivních koeficientů

$-0,2509605$ , a pro výpočet odpovídajícího složení tuhé fáze  $Q_{12} = 0,2326636$  a  $Q_{122} = -0,1331672$ .

\* Konstanty jsou uváděny na plný počet vypočtených míst. Vzhledem ke složité závislosti dané vztahem (3) resp. (6) by případně zaokrouhlení mohlo vést k horšímu vystížení závislostí.

Tabulka I

Hodnoty interakčních konstant  $Q$  síranu amonno-hlinitého ve vodných roztocích síranu amonného a síranu hlinitého

$T$ [°C]	Systém ALAS-SA-H <sub>2</sub> O		Systém ALAS-SH-H <sub>2</sub> O	
	$Q_{12}$	$Q_{122}$	$Q_{12}$	$Q_{122}$
0	0,3508854	-0,03030142	1,434151	-0,792496
25	0,2355117	-0,01950545	0,5798548	-0,3859894
30	0,2176214	-0,01740949	0,7121069	-0,3927404
40	0,1895511	-0,013775201	0,4075232	-0,1740108
50	0,1614808	-0,01014892	0,2438685	-0,1077782
75	0,05687488	0,009157112	0,07406823	0
90	-0,01282468	0,01927143	-0,1000000	0,0300000

Tabulka II

Interakční konstanty  $Q$  systému síran amonno-hlinitý–kysele sítová–H<sub>2</sub>O

$T$ [°C]	$Q_{12}$	$Q_{122}$	$Q_{1222}$	Pramen dat
20	0,6419676	-0,3811565	0,0726740	3
25	0,5770921	-0,3082100	0,0554983	vlastní měření
30	0,5254287	-0,2902007	0,0567978	3
	0,4898426	-0,2410185	0,0418761	2
	0,4625706	-0,2245395	0,0397830	vlastní měření
40	0,3358683	-0,1309507	0,0206475	vlastní měření
50	0,1837431	-0,0255506	0	vlastní měření
55	0,170	-0,0150	0	interpolace
60	0,1545808	-0,0195539	0	vlastní měření
65	0,110	-0,010	0	extrapolace
70	0,080	-0,0018	0	extrapolace
75	0,070	-0,0010	0	extrapolace

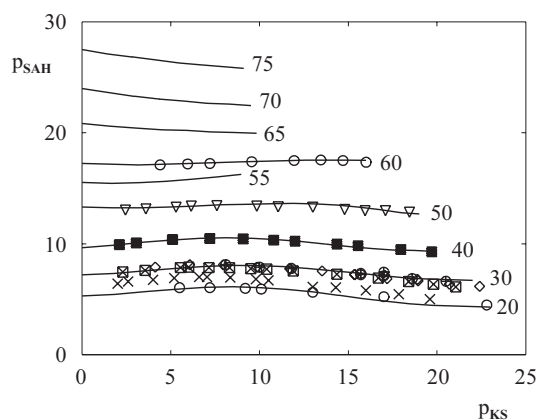
Výsledky výpočtu jsou znázorněny na obr. 4 (kamenec–kysele sítová–voda) a obr. 5 (kamenec hlinitý a železitý).

Ze známých konstant  $Q$  je pak možno z rovnice (5) resp. (6) zpětně vypočítat vyrovnané hodnoty rozpustnosti složky 1 pro zvolenou koncentraci složky 2.

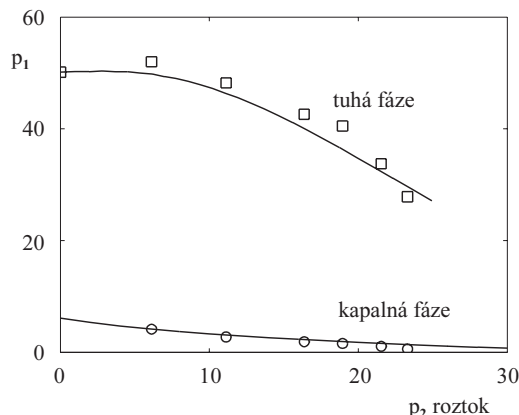
## Diskuse a závěry

Jak je patrné z obr. 1, síran amonné snižuje rozpustnost síranu amonno-hlinitého až do koncentrace síranu amonného 20 %, vyšší koncentrace jsou už bez výrazného vlivu. Rovněž s rostoucí teplotou vliv síranu amonného klesá. Vliv síranu hlinitého na rozpustnost síranu amonno-hlinitého (obr. 2) naopak s rostoucí koncentrací síranu hlinitého nabývá na intenzitě, zejména při nižších teplotách. Při kladné hodnotě  $Q_{12}$  a záporné hodnotě  $Q_{122}$  stechiometrický přebytek druhé složky má na roztoku složky 1 destrukturační efekt (narušuje hydratační sféru složky 1).

Pro zpracování literárních údajů v systému síran amonno-



Obr. 4. Rozpustnost v systému síran amonno-hlinitý [SAH]-kysele sítová [KS]-H<sub>2</sub>O; jednotlivé křivky jsou vypočtené pomocí vztahu (6)



Obr. 5. Složení odpovídající fáze jako funkce koncentrace síranu amonno-železitého v kapalné fázi

-hlinitý–kysele sítová–voda byla použita data získaná pro koncentrace kysele sítové pod 23 %. Data s vyšší koncentrací kysele sítové se pomocí vztahu (5) s uvedenými konstantami  $Q$  nepodařilo uspokojivě korelovat, což ukazuje na složitější druh interakce mezi oběma složkami a rovněž na větší nepřesnost dat. Rovněž v práci<sup>3</sup> bylo zjištěno, že se charakter rozpustnosti při koncentracích kysele sítové nad 30 % mění: rozpustnost do cca 8 % H<sub>2</sub>SO<sub>4</sub> mírně stoupá, od 8 do 32 % H<sub>2</sub>SO<sub>4</sub> klesá, prochází minimem a při vyšších koncentracích kysele sítové opět stoupá. Jak je patrné z tabulky II, mají absolutní hodnoty interakčních konstant  $Q$  s rostoucí teplotou klesající tendenci. To bylo možno očekávat, protože s rostoucí teplotou se chování roztoku blíží chování ideálnímu. Do teplot kolem 50 °C je k vystižení rozpustnosti zapotřebí tří konstant, při vyšších teplotách je konstanta  $Q_{122} = 0$  a vystačíme tedy pouze se dvěma konstantami. Konstanty platící pro teploty nad 60 °C byly získány grafickou extrapolací a jejich použitelnost ověřena na polytermních datech, jak ukazuje obr. 3. Z hodnot interakčních konstant lze usuzovat<sup>7</sup>, že zejména při vyšších koncentracích kysele sítové dochází k destrukci roztoku, protože  $Q_{12} > 0$  a  $Q_{122} < 0$ . Kysele sítová v koncentracích do 20 % neodebírá vodu z hydratační sféry kamence.

## Seznam symbolů

$a$	konzentrace [g/100 g H <sub>2</sub> O]
$a_i$	počet společných kationů v složce $i$
$b_1$	počet rozdílných kationů ve složce 1
$g_1$	počet rozdílných aniontů ve složce 1
$h_i$	počet společných aniontů ve složce $i$
$K$	distribuční koeficient
$m_i$	molalita $i$ -té složky [mol/kg H <sub>2</sub> O]
$m_{0i}$	rozpustnost čisté $i$ -té složky ve vodě [mol/kg H <sub>2</sub> O]
$p, p_i$	konzentrace [hm. %]
$Q$	interakční konstanta
$T$	teplota [°C]
$w_i$	konzentrace
$X$	relativní molalita
$x_i$	molární zlomek $i$ -té složky v kapalné fázi
$X_i$	relativní molalita $i$ -té složky
$x$	molární zlomek
$y_i$	molární zlomek $i$ -té složky v tuhé fázi
$v_i$	počet iontů v molekule $i$ -té složky
$\Phi_i$	funkce definovaná vztahem (4)

ALAS, SAH	síran amonno-hlinitý
FELAS	síran amonno-železitý
SA	síran amonný
SH	síran hlinitý

Autoři děkují za podporu této práce Grantové agentuře České republiky, číslo grantu 203/99/1222.

## LITERATURA

- Nývlt J.: *Rovnováhy tuhá fáze–kapalina*, str. 28. Academia, Praha 1975.

- Nývlt J., Majrich A., Kočová H.: Collect. Czech. Chem. Commun. 35, 165 (1970).
- Nikl S., Nývlt J.: Collect. Czech. Chem. Commun. 41, 2657 (1976).
- Nývlt J.: Cryst. Res. Technol. 30, 1065 (1995).
- Broul M., Nývlt J., Söhnel O.: *Tabulky rozpustnosti anorganických látek ve vodě*. Academia, Praha 1979.
- Linke F. W., Seidell A.: *Solubilities of Inorganic and Metallorganic Compounds*. Nostrand, New York 1958.
- Hill A. E., Kaplan N.: J. Am. Chem. Soc. 60, 550 (1938).
- Urazov G. G., Kindjakov P.S.: Tr. Mosk. Inst. Tonkoi Khim. Tekhnol. 7, 81 (1958).
- Funaki K.: Bull. Tokyo Inst. Technol. Ser. B, No. 1 (1950).
- Bretsznajder S., Kotowska W.: Przem. Chem. 11, 285 (1955).
- Žúžiová A., van Viet, Khandl V., Fellner P.: Chem. Papers 49, 173 (1995).
- Pavelka V.: *Diplomová práce*. VŠCHT, Praha 1995.

**J. Nývlt<sup>a</sup>, J. Hostomský<sup>a</sup>, V. Hostomská<sup>a</sup>, and V. Pavelka<sup>b</sup>** (<sup>a</sup>*Institute of Inorganic Chemistry, Academy of Sciences of the Czech Republic, Řež u Prahy, <sup>b</sup>Spolchemie Comp., Ústí n. L.*): **Phase Equilibria in Aluminium Ammonium Sulfate Solutions in Decontamination of Chemical Extraction of Uranium**

Literature data on and own measurements of phase equilibria in the systems aluminium ammonium sulfate–ammonium sulfate–water, aluminium ammonium sulfate–aluminium sulfate–water, aluminium ammonium sulfate–sulfuric acid–water, and aluminium ammonium sulfate–ammonium ferric sulfate–water were elaborated. Data correlation using the method of relative activity coefficient expansion made it possible to work up the data in a wide range of temperatures. Hydration analysis showed different behaviour of the systems.